



هشتمین همایش صنایع دریایی
۹ لغایت ۱۱ آبانماه ۱۳۸۵
استان بوشهر

بررسی تأثیر پارامترهای سوراخهای خروجی هوا بر روی فرم و شدت تغییر شکل بالشتک بسته (Close) در هاور کرافتها

کاووس زارع^۱

شیراز-بلوار شهید چمران-پژوهشکده هوا دریا - دفتر طرحهای هیدرولیک و استاتیک

kavoos_zare@yahoo.com

چکیده

در این تحقیق تأثیر پارامترهای سوراخهای خروجی هوا بر روی فرم و شدت تغییر شکل بالشتک لاستیکی هاور کرافتها مورد بررسی قرار گرفته است. برای این منظور ابتدا معادلات هندسی و تعادل برای بالشتک یک طبقه بسته (Close)، نوشته شده است. بدلیل آنکه دستگاه معادلات بدست آمده غیر خطی بوده، از روش عددی نیوتن-رافسون برای حل دستگاه استفاده شده است. برای اینکه نتایج بصورت جامع باشند، از متغیرهای بی بعد استفاده شده است. نتایج برنامه به صورت منحنیهای گسترده ای در آورده شده، که در طراحی این نوع بالشتک می توان از آنها استفاده نمود. نمونه هایی از این نمودارها در پایان آورده شده است.

کلمات کلیدی: هاور کرافت - بالشتک - لوب یک طبقه - نیوتن - رافسون

۱- کارشناس ارشد تبدیل انرژی- عضو هیات علمی دانشگاه مالک اشتر



مقدمه

توسعة هواناو (Hovercraft) بطور جدی و عملی در انگلستان زمانی آغاز شد، که در سال ۱۹۵۵ شروع به انجام آزمایشها بی بروی ایده هواناو یعنی استفاده از یک بالشتک هوا (Air Cushion) به عنوان تکیه گاه و کاهنده نیروی پسا (Drag) مزایای این سازه انعطاف پذیر به عنوان بخش جدید به این وسیله آئرو استاتیک اضافه شد و نسل جدیدی از شناورهای دریایی با نام Air Cushion Vehicle-ACV بوجود آمد، [۱]. برخی مزایای استفاده از هواناو به شرح زیر می باشند: حرکت بر روی آب و سطح زمین اعم از هموار و ناهموار، گلآلود یا پوشیده از برف، نیروی پسایی کمتر در حرکت بر روی آب به دلیل غوطه ور نبودن وسیله در آب، فرسایش کمتر وسیله و افزایش عمر آن در آب. از آنجا که این وسیله هم روی خشکی و هم روی آب در شرایط مختلف حرکت می کند، در صنایع نظامی و حمل و نقل در برخی مناطق صعب العبور مورد توجه می باشد.

هواناو بر روی لایه ای از هوا که توسط فن به زیر آن فرستاده می شود قرار می گیرد. این لایه هوا به وسیله بالشتک (Skirt) در بر گرفته می شود و جریان هوا از زیر بالشتک از طریق فاصله یا گپ هوا برقرار می گردد (شکل ۱) [۲]. در حقیقت به کار بردن بالشتکهای انعطاف پذیر باعث به وجود آمدن هوانوها شده است. نقش بالشتک در هواناو عبارت است از :

الف) ایجاد لایه هوا و بلند کردن سازه سخت هواناو.
ب) در موقع حرکت از روی امواج و موانع مانند یک ماده با سختی کم می باشد که سازه را در بر گرفته است.

ج) با ساخت بالشتکهایی که قابلیت تغییر شکل هندسی زیادی دارند میتوان تغییرات فشار ودبی جریان هوای بالابری هواناو (Hovercraft Lift Air Flow) را کنترل کرد. این نوع بالشتکها را بالشتکهای واکنشی مینامند [۳].



د) بالشتکها با قابلیت جابجایی رو به بالا و پائین (به کمک زنجیرهای متصل به آنها) علاوه بر نگهدارتن هوای قابلیت زیادی برای کنترل هواناو ایجاد می‌کنند.

۵) با تقسیم‌بندی هوای به وسیله بالشتک، کنترل حرکت هواناوهای سنگین میسر می‌شود.

بررسی کارشناسی نشان می‌دهد که تاکنون طیف گسترده‌ای از مدل‌های بالشتک مورد آزمون قرار گرفته است و علاوه بر تغییر فرم بالشتک، ترکیب جدید چیدمانی و کنترل هوای خروجی به زیر انگشتی‌ها نیز صورت پذیرفته است. به طور قطع بالشتک و فرم هندسی آن و مسایل مربوط به انتخاب جنس و شکل ترکیبی آن منحصر به شناورهای بالشتک هوایی بوده و در هیچ وسیله دیگری نظیر آن وجود ندارد و همین مساله توجه بیش از پیش طراحان و محققان شناورهای کلاس آئرواستاتیک را به این مهم معطوف میدارد و لزوم بازنگری در طرحهای پیشین و نتایج آزمایشگاهی و بهینه سازی روش‌های قدیمی امری اجتناب ناپذیر در توسعه دانش طراحی این شناورها می‌باشد.

بالشتک یک طبقه بسته

شکل ۱ نمای کلی بالشتک یک طبقه بسته (Close) را نشان می‌دهد که تشکیل شده از: لوب و فینگر هوایی که از فن بوسیله کانالهای هوایی به لوب انتقال یافته از سوراخهای لوب به فینگرهای زیر هاورکرافت منتقل شده و هاورکرافت را به صورت معلق در می‌آورد. هوای از فاصله‌ای که بین سطح زیرین شناور و انتهای فینگرهای ایجاد می‌شود، خارج شده و بعد از اینکه جریان به حالت پایدار رسید فشار زیر هاورکرافت به مقدار ثابتی خواهد رسید. این فاصله که اصطلاحاً گپ بالشتک گفته می‌شود به ارتفاع بالشتک بستگی دارد و چون ارتفاع بالشتگ خود تابعی از شکل لوب بالشتک می‌باشد، در نهایت گپ بالشتک بستگی به شکل لوب بالشتک خواهد داشت.

شکل لوب بالشتک به پارامترهای زیر بستگی دارد:



۱- فشار داخل لوب ۲- فشار زیر هاورکرافت ۳- طول کمان لوب ۴- نقاط اتصال لوب بالشتک با

سازه شناور ۵- محل سوراخ لوب ۶- ابعاد سوراخ لوب

در ادامه این تحقیق ما تاثیرات ابعاد سوراخ را (یک بار به صورت طولی و یک بار به صورت عرضی) بر روی شدت تغییر شکل و وضعیت لوب یک طبقه بالشتک مورد بررسی قرار داده ایم. برای این منظور ابتدا مدل ریاضی لوب بالشتک یک طبقه بسته بررسی شده و چون دستگاه معادلات نهایی به صورت غیر خطی بوده، از روش محاسباتی نیوتن- رافسون در نرم افزار Mathcad دستگاه معادلات حل شده و نتایج به صورت نمودارهای بی بعد آورده شده است.

مدل ریاضی بالشتک یک طبقه بسته

جداره لوب بطور مرحله‌ای تحت فشار هوا قرار می‌گیرد و ماده مورد استفاده این جداره از جنس ایزوترب غیر قابل انبساط و انعطاف‌پذیر است. شکل ۲ مقطع عرضی لوب را نشان می‌دهد، به علت اینکه در جهت طولی لوب بالشتک متقارن بوده بنابراین جهت بررسی می‌توان بخش ویژه‌ای از آنرا مانند خط تراز $A''A'''D''D''$ یا $AA'E'M'S'D'DSME$ انتخاب نمود [۴].

پارامترهای فرم و شکل لوب شامل موارد زیر است :

p_p : فشار هوا در لوب، واحد پاسکال

p_n : فشار هوا در زیر هاورکرافت، واحد پاسکال

در خط تراز $AA'E'M'ME$ فشار p_p عمل می‌نماید و در خط تراز $MM'S'D'DS$ فشار

$p_n - p_p$ عمل می‌نماید.

جز فشار که در داده‌های اولیه است موارد زیر نیز مورد استفاده قرار می‌گیرند :

L : طول مقطع عرضی لوب انعطاف‌پذیر به متر

D : فاصله بین نقاط اتصال لوب به متر

 $f = b_{\text{OTB}} / b_n$ عرض سوراخ به متر b_{OTB} حداکثر عرض بخش ویژه گستردگی لوب به متر b_n طول نسبی سوراخ $c_3 = L_3 / L = L_4 / L$ تناسب طول بخش داخلی و خارجی مقطع عرضی لوب بدون احتساب نواحی $c = L_1 / L_2$

سوراخ دار.

زاویه بین بریدگیهای AD, ND , δ طول کمانی بخش مقطع عرضی لوب انعطاف پذیر به متر L_1, L_2, L_3, L_4

تناسب هندسی برای لوب توسط معادلات زیر تعیین می‌گردد:

$$D \cos \delta = A_1 \sin \alpha + A_4 \sin \gamma_2 + A_3 \sin \gamma_1 - A_2 \sin \zeta_1 \quad (1)$$

$$D \sin \delta = A_2 \cos \zeta_1 + A_3 \cos \gamma_1 - A_4 \cos \gamma_2 - A_1 \cos \alpha \quad (2)$$

$$\gamma_2 = \varphi_4 + \varphi_1 + \alpha \quad \gamma_1 = \pi - \varphi_3 - 2\varphi_4 - \varphi_1 - \alpha \quad (3)$$

$$\zeta_1 = -\pi + 2\varphi_3 + 2\varphi_4 + \varphi_1 + \alpha + \varphi_2 \quad (4)$$

$$A_4 = 2R_4 \sin \varphi_4; \quad A_3 = 2R_3 \sin \varphi_3; \quad A_2 = 2R_2 \sin \varphi_2; \quad A_1 = 2R_1 \sin \varphi_1 \quad (5)$$

$$L_4 = R_4 2\varphi_4; \quad L_3 = R_3 2\varphi_3; \quad L_2 = R_2 2\varphi_2; \quad L_1 = R_1 2\varphi_1 \quad (6)$$

$$L = L_1 + L_2 + L_3 + L_4; \quad L_4 = L_3; \quad L_1 = cL_2; \quad L_3 = c_3 L \quad (7)$$

در اینجا:

شعاعهای بخش‌های منحنی مقطع عرضی لوب قابل انعطاف هستند، به متر R_1, R_2, R_3, R_4 طول وترهای قوس‌های بخش مقطع عرضی لوب قابل انعطاف هستند، به متر A_1, A_2, A_3, A_4

زواياي مرکزی قوس‌هایی از بخش مقاطع عرضی لوب قابل انعطاف هستند.

معادلات تعادل نیروهای لوب:



$$\Sigma T_4 = \Sigma T_1; \quad \Sigma T_3 = \Sigma T_4; \quad \Sigma T_2 = \Sigma T_3 \quad (8)$$

$$\Sigma T_4 = R_4 \Sigma P_4; \quad \Sigma T_3 = R_3 \Sigma P_3; \quad \Sigma T_2 = R_2 \Sigma P_2; \quad \Sigma T_1 = R_1 \Sigma P_1 \quad (9)$$

$$\Sigma T_4 = T_4 b_n (1-f); \quad \Sigma T_3 = T_3 b_n (1-f); \quad \Sigma T_2 = T_2 b_n; \quad \Sigma T_1 = T_1 b_n \quad (10)$$

$$\Sigma P_2 = p_p b_n; \quad \Sigma P_1 = (p_p - p_n) b_n \quad (11)$$

$$\Sigma P_4 = (p_p - p_n) b_n (1-f); \quad \Sigma P_3 = p_p b_n (1-f) \quad (12)$$

در اینجا :

$\Sigma T_4, \Sigma T_3, \Sigma T_2, \Sigma T_1$: مجموع نیرو و کشش در انطباق با مقاطع :

قطعه 'SS' از سمت راست بریدگی، در قطعه 'EE' از سمت چپ بریدگی، در قطعه 'MM' از سمت چپ قطعه، در قطعه 'MM' از سمت راست قطعه.

$\Sigma P_4, \Sigma P_3, \Sigma P_2, \Sigma P_1$: توزیع باری که بر واحد طول از بخش قطعه عرضی لوب انعطاف‌پذیر تأثیر می‌گذارد با واحد نیوتن بر متر

جهت محاسبات بعدی مقادیر بدون بعد را وارد می‌کنیم که توسط حروف کوچک مشخص شده‌اند :

$$\Delta_p = (p_p - p_n) / p_p$$

فاصله بدون بعد بین نقاط اتصال لوب :

طول وترهای بدون بعد بخش قطعه عرضی لوب قابل انعطاف :

$$a_4 = A_4 / L, \quad a_3 = A_3 / L, \quad a_2 = A_2 / L, \quad a_1 = A_1 / L$$

شعاعهای بدون بعد قوس‌های بخش قطعه عرضی لوب قابل انعطاف :

$$r_1 = R_1 / L; \quad r_2 = R_2 / L; \quad r_3 = R_3 / L; \quad r_4 = R_4 / L$$

طول‌های بدون بعد کمانی بخش قطعه عرضی لوب قابل انعطاف :

$$l_4 = L_4 / L, \quad l_3 = L_3 / L, \quad l_2 = L_2 / L, \quad l_1 = L_1 / L$$

کشش‌های حلقوی بدون بعد :



$$t_4 = T_4 / (p_p L), t_3 = T_3 / (p_p L), t_2 = T_2 / (p_p L), t_1 = T_1 / (p_p L)$$

مجھولات برای سیستم معادلات (۱) - (۱۲) بشرح زیر است :

$$, \quad L_1, L_2, L_3, L_4, \quad \varphi_1, \varphi_2, \varphi_3, \varphi_4, \quad R_1, R_2, R_3, R_4, \quad A_1, A_2, A_3, A_4 \\ . \zeta_1, \gamma_1, \gamma_2, \alpha, T_3, T_4, T_1, T_2, \Sigma P_1, \Sigma P_2, \Sigma P_3, \Sigma P_4, \Sigma T_1, \Sigma T_2, \Sigma T_3, \Sigma T_4$$

پس از تغییر و تبدیل سیستم معادلات (۱) - (۱۲) به معادلات بدون بعد، حالات زیرین را مورد استفاده قرار می‌دهیم :

$$d \cos \delta = a_1 \sin \alpha + a_4 \sin \gamma_2 + a_3 \sin \gamma_1 - a_2 \sin \zeta_1 \quad (۱۳)$$

$$d \sin \delta = a_2 \cos \zeta_1 + a_3 \cos \gamma_1 - a_4 \cos \gamma_2 - a_1 \cos \alpha \quad (۱۴)$$

$$\gamma_1 = \pi - \varphi_3 - 2\varphi_4 - \varphi_1 - \alpha; \quad \gamma_2 = \varphi_4 + \varphi_1 + \alpha \quad (۱۵)$$

$$\zeta_1 = -\pi + 2\varphi_3 + 2\varphi_4 + \varphi_1 + \alpha + \varphi_2 \quad (۱۶)$$

$$a_4 = 2r_4 \sin \varphi_4; \quad a_3 = 2r_3 \sin \varphi_3; \quad a_2 = 2r_2 \sin \varphi_2; \quad a_1 = 2r_1 \sin \varphi_1 \quad (۱۷)$$

$$l_4 = r_4 2\varphi_4; \quad l_3 = r_3 2\varphi_3; \quad l_2 = r_2 2\varphi_2; \quad l_1 = r_1 2\varphi_1 \quad (۱۸)$$

$$l_1 + l_2 + l_3 + l_4 = 1, \quad l_4 = l_3; \quad l_1 = cl_2; \quad l_3 = c_3 \quad (۱۹)$$

$$t_4 = \Delta_p r_4; \quad t_3 = r_3; \quad t_2 = r_2; \quad t_1 = \Delta_p r_1 \quad (۲۰)$$

$$t_4(1-f) = t_1; \quad t_3 = t_4; \quad t_2 = t_3(1-f) \quad (۲۱)$$

در سیستم معادلات (۱۳) - (۲۱) موارد مطلوب و مورد نظر شامل :

$$, \quad t_3, t_4, t_1, t_2, \quad l_1, l_2, l_3, l_4, \quad \varphi_1, \varphi_2, \varphi_3, \varphi_4, \quad r_1, r_2, r_3, r_4, \quad a_3, a_4, \quad a_1, a_2 \\ \gamma_1, \gamma_2, \zeta_1, \alpha \text{ می‌باشد.}$$

تغییر معادلات (۱۳) - (۲۱) بما اجازه می‌دهد که به حل سیستم دو معادله‌ای با دو مجھول α , φ_2 تبدیل نمائیم.

$$d \cos \delta = a_1 \sin \alpha + a_4 \sin(\varphi_2 \omega_2 + \alpha) + a_3 \sin(\varphi_2 \omega_3 + \alpha) + a_2 \sin(\varphi_2 \omega_4 + \alpha) \quad (۲۲)$$

$$d \sin \delta = -a_2 \cos(\varphi_2 \omega_4 + \alpha) - a_3 \cos(\varphi_2 \omega_3 + \alpha) - a_4 \cos(\varphi_2 \omega_2 + \alpha) - a_1 \cos \alpha \quad (۲۳)$$



در اینجا :

$$\omega_1 = \frac{l_3}{l_2}(1-f), a_4 = \frac{l_2 \sin(\varphi_2 \Delta_p \omega_1)}{\varphi_2 \Delta_p (1-f)}, a_3 = \frac{l_2 \sin(\varphi_2 \omega_1)}{\varphi_2 (1-f)}, a_2 = \frac{l_2 \sin \varphi_2}{\varphi_2}, a_1 = \frac{l_2 \sin(\Delta_p c \varphi_2)}{\Delta_p \varphi_2}$$

$$l_3 = c_3, \omega_4 = 2\omega_1(1+\Delta_p) + \Delta_p c + 1, \omega_3 = \omega_1 + 2\Delta_p \omega_1 + \Delta_p c, l_2 = \frac{1-2c_3}{c+1}, \omega_2 = \Delta_p (\omega_1 + c)$$

محصولات باقیمانده از روابط زیر بدست می‌آید :

$$\zeta_1 = -\pi + \varphi_2 \omega_4 + \alpha, \gamma_1 = \pi - \varphi_2 \omega_3 - \alpha, \gamma_2 = \varphi_2 \omega_2 + \alpha \quad (24)$$

$$\varphi_4 = \Delta_p \varphi_3, \varphi_3 = \varphi_2 \omega_1, \varphi_1 = \Delta_p c \varphi_2, l_4 = l_3 \quad (25)$$

$$r_4 = \frac{c_3}{2\varphi_4}, r_3 = \frac{c_3}{2\varphi_3}, r_2 = \frac{l_2}{2\varphi_2}, r_1 = \frac{l_2 c}{2\varphi_1} \quad (26)$$

$$t_4 = \Delta_p r_4, t_3 = r_3, t_2 = r_2, t_1 = \Delta_p r_1 \quad (27)$$

مختصات نقاط

$$Y_S = -A_1 \cos \alpha, X_S = b - A_1 \sin \alpha \quad (28)$$

$$Y_M = Y_S - A_4 \cos \gamma_2, X_M = X_S - A_4 \sin \gamma_2 \quad (29)$$

$$Y_E = Y_M + A_3 \cos \gamma_1, X_E = X_M - A_3 \sin \gamma_1$$

$$Y_{01} = R_1 \sin(\alpha - \varphi_1), X_{01} = b - R_1 \cos(\alpha - \varphi_1) \quad (30)$$

$$Y_{02} = Y_E + R_2 \sin(\gamma_1 - \varphi_3), X_{02} = X_E + R_2 \cos(\gamma_1 - \varphi_3) \quad (31)$$

$$Y_{03} = Y_E + R_3 \sin(\gamma_1 - \varphi_3), X_{03} = X_E + R_3 \cos(\gamma_1 - \varphi_3) \quad (32)$$

$$Y_{04} = Y_S + R_4 \sin(\varphi_1 + \alpha), X_{04} = X_S - R_4 \cos(\varphi_1 + \alpha) \quad (33)$$

در اینجا : $b = D \cos \delta$



نتیجه‌گیری :

ساخت مدل ریاضی لوب انعطاف‌پذیر این امکان را به ما می‌دهد تا تأثیر پارامترهای سوراخ‌ها را بروی شکل نمونه و شدت وضعیت آن را بررسی نموده و ویژگی‌های بدون بعد این امکان را به ما می‌دهد که در مورد نتایج بدست آمده تجزیه و تحلیل داشته باشیم.

در مثال حل شده داده‌های اولیه به صورت زیر می‌باشند :

$$c = 1,1; \quad \delta = 0,16 \text{ rad}; \quad d = 0,469; \quad \Delta_p = 0,231$$

نتایج حل سیستم معادلات (۲۲) — (۲۳) و عبارات (۲۴) — (۳۳) در نمودارهای ۴ تا ۷ آورده شده است که این نمودارها تأثیر پارامترهای سوراخ‌ها بر روی کشش‌های حلقوی بدون بعد t_2 و شعاع قوس r_1 را نشان می‌دهند.

بروی شکل ۳ خطوط نقطه چین منطقه سوراخ‌ها را نشان می‌دهد، نقاطی که حاشیه و وسط سوراخ‌ها را علامت‌گذاری نموده است. از شکل ۳ مشخص است که افزایش بدون بعد طول‌های یا عرض‌های سوراخ‌ها به کاهش ارتفاع لوب انعطاف‌پذیر منتهی شده و متعاقباً منجر به کاهش قابلیت دریانوردی شناور می‌گردد. ضمناً افزایش بدون بعد طولی سوراخ تأثیر بیشتری نسبت به افزایش بدون بعد عرضی آن بر کاهش ارتفاع لوب نشان می‌دهد.

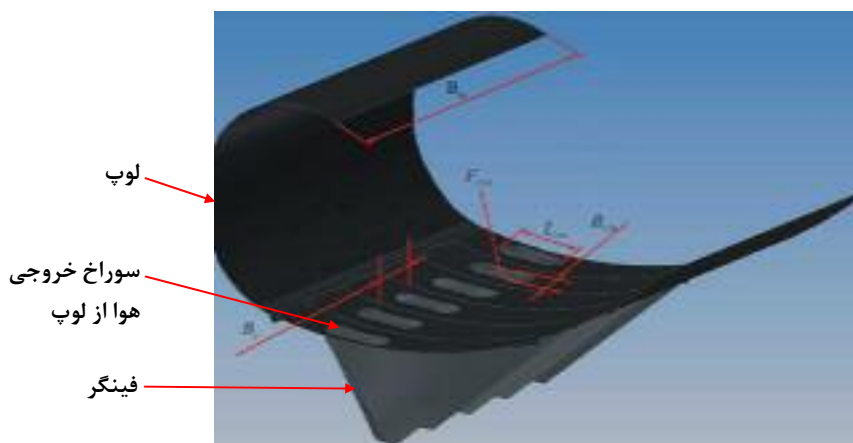
بررسی تأثیر پارامترهای سوراخ بر روی $t_1, t_2, r_1, r_2, r_3, r_4$ و t_3, t_4 با احتساب اینکه

$$t_1 = t_2, \quad r_3 = \Delta_p r_4, \quad r_4 = \frac{r_1}{1-f}, \quad r_2 = \Delta_p r_1, \quad t_4 = t_3, \quad t_3 = \frac{t_1}{1-f}$$
 و امکان‌پذیر می‌باشد.

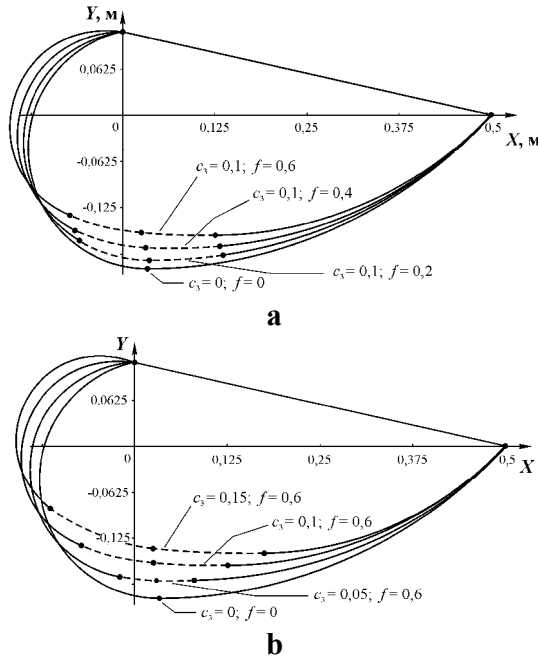


مراجع :

1. L. Yun & A. Bliault, *Theory and Design of Air Cushion Craft*, Copublished in North, Central and South America, New York, 2000.
2. Ian Cross., "Introduction to Hovercraft", Pitman publishing, The University of Leeds, 1975.
3. B. A. Kolyzayev., "Speravochnik(hand book of hovercraft)", pirove publication, 2 Edition, Leningrad, 1980(in Russian).
4. و، زایتسف، "گزارش طراحی بالشتک"، دانشگاه صنعتی مالک اشتر، پژوهشکده هوادریا، ۱۳۸۳.



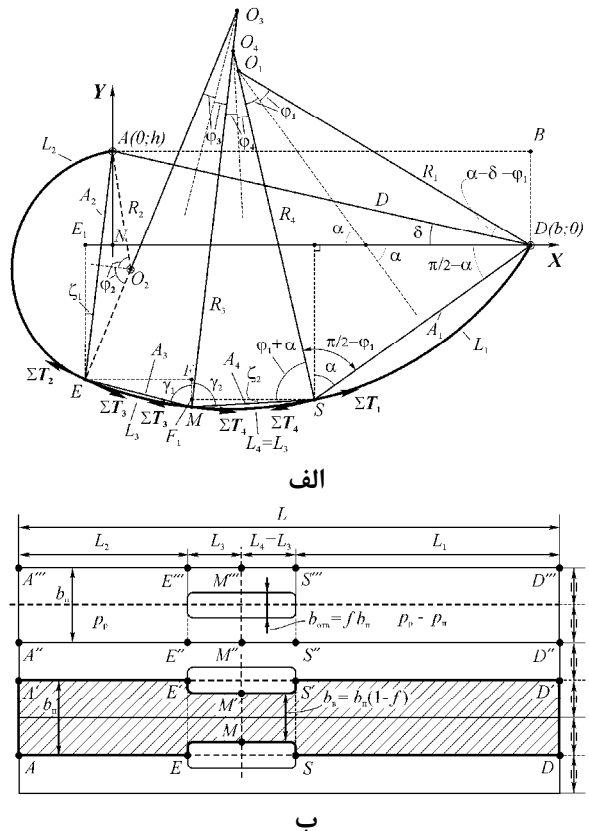
شکل ۱- نمای کلی بالشتک یک طبقه بسته



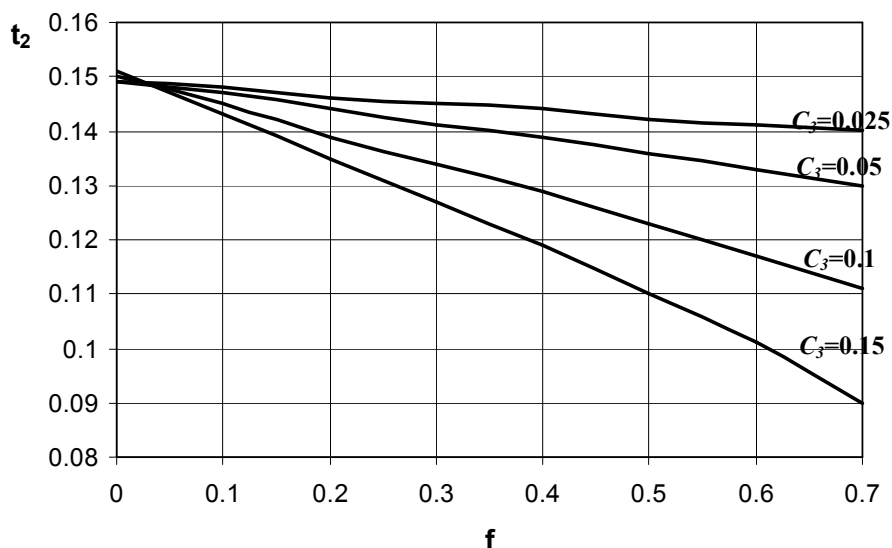
شکل ۳ : تأثیر پارامترهای سوراخها بر فرم و شکل

قطع عرضی لوپ قابل انعطاف :

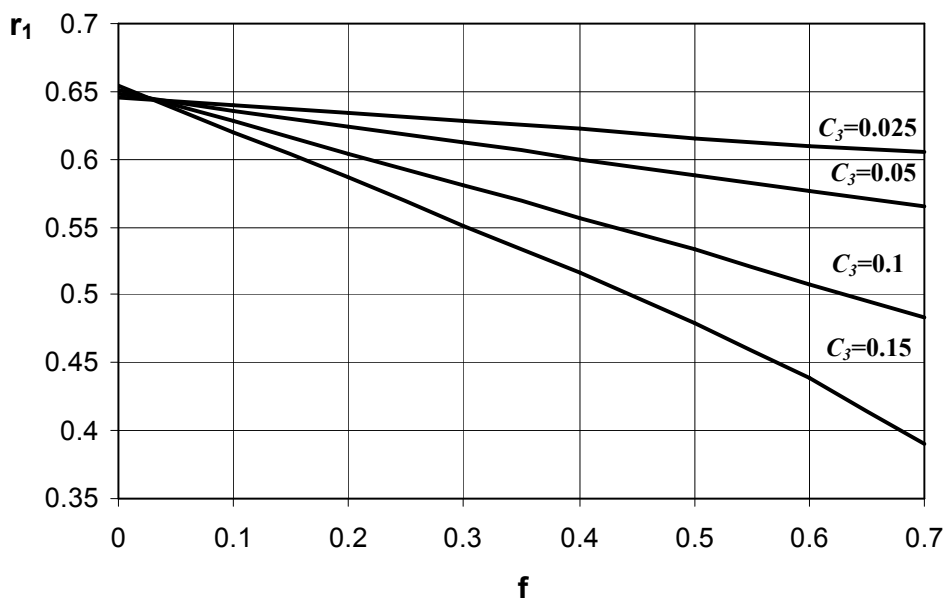
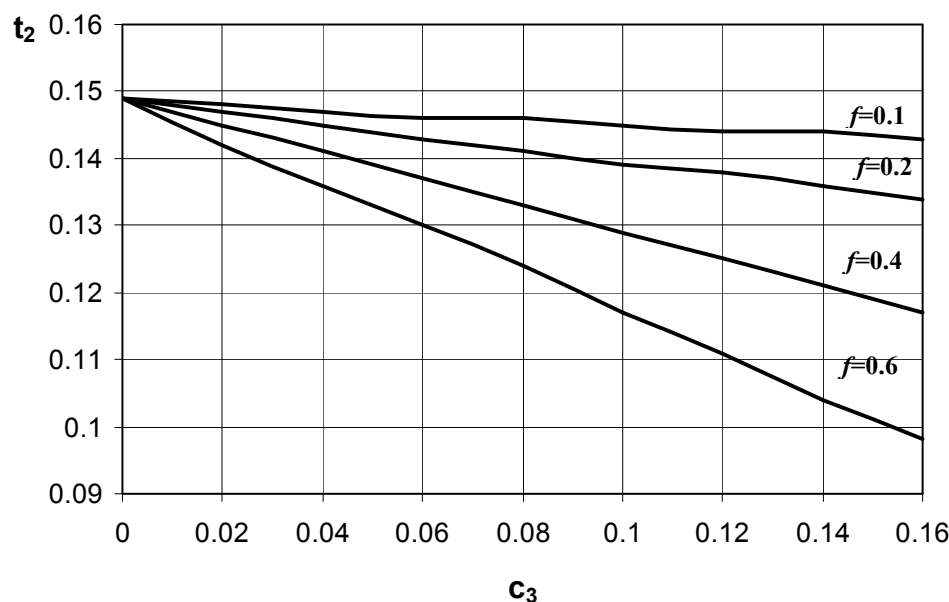
- تأثیر عرضهای سوراخها
- تأثیر طولهای سوراخها

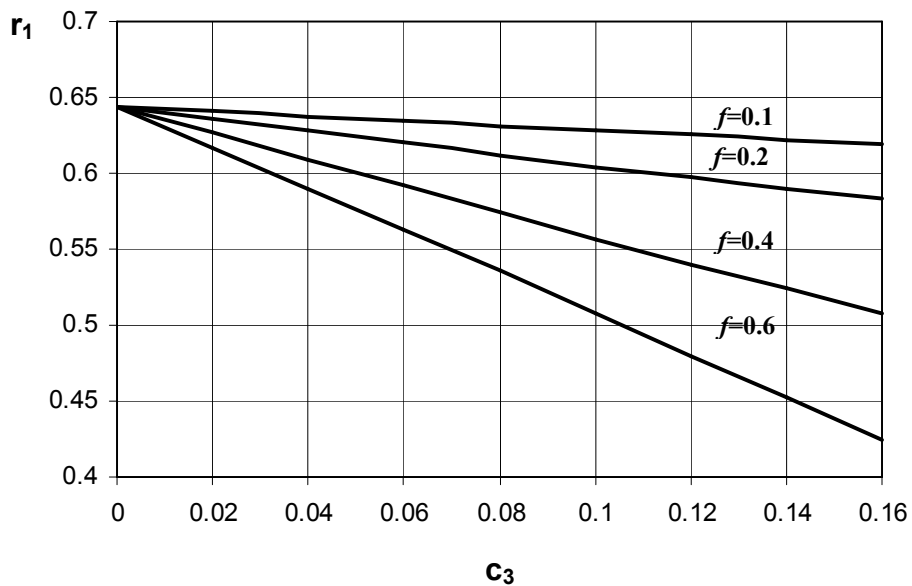


شکل ۲ : نقشه محاسبات : (الف) مقاطع ، (ب) توزیع



شکل ۴ - ارتباط کشش‌های حلقوی t_2 به عرضهای نسبی سوراخها f

شکل ۵ - ارتباط شعاع بدون بعد r_1 با عرض‌های نسبی سوراخ‌ها f شکل ۶ - ارتباط کشش‌های حلقوی t_2 به طول‌های نسبی سوراخ‌ها C_3

شکل ۷ - ارتباط شعاع بدون بعد r_1 به طول‌های نسبی سوراخ‌ها